

القاء کالوس و تراریزش ژنتیکی در ارغوان (*Cercis griffithii* Boiss.) به کمک آگروباکتریوم تومه‌فاسینس

نقی شعبانیان^۱، مونا نصری^۲ و محمدشفیع رحمانی^{۲*}

۱- دانشیار، دانشکده منابع طبیعی، دانشگاه کردستان

۲- کارشناس ارشد، جنگل‌شناسی و اکولوژی جنگل، دانشکده منابع طبیعی، دانشگاه کردستان

۳- نویسنده مسئول مکاتبات، کارشناس ارشد، بیوتکنولوژی گیاهی، آزمایشگاه بیولوژی جنگل، دانشکده منابع طبیعی، دانشگاه کردستان

پست الکترونیک: m.rahmani@uok.ac.ir

تاریخ پذیرش: ۱۳۹۳/۰۲/۲۷ تاریخ دریافت: ۱۳۹۲/۱۱/۱۴

چکیده

ارغان (Cercis spp.) بهدلیل ارزش زیبایی‌شناختی، در جنگل‌داری شهری از اهمیت بالایی برخوردار است، اما برخی صفات نامطلوب استفاده از آن را با محدودیت مواجه کرده‌اند که می‌توان آنها را از طریق مهندسی ژنتیک اصلاح کرد. در این مطالعه، ریزنمونه‌های کوتیلدون و ساقه گیاهچه‌های درون‌شیشه‌ای ارغوان در محیط کشت MS حاوی غلظت‌های مختلفی از تنظیم‌کننده‌های رشد به منظور القاء کالوس کشت شدند. سویه‌های AGL1 و EHA105 آگروباکتریوم تومه‌فاسینس با پلاسمید pCAMBIA2301 ناقل ژن‌های gus و nptII، به ترتیب عامل ایجاد مقاومت به آنتی‌بیوتیک کانامایسین و تولیدکننده پروتئین آنزیمی گزارشگر β -گلوکورونیداز، بر پایه دو روش کلرید کلسیم و تریس تراریزش شدند. سپس سلول‌های کالوس و جنین زایگوتی بالغ با تراکم‌های مختلفی از سویه‌های مختلف آگروباکتریوم در دو شرایط خلاً و غیرخلاً تلقیح گردیدند. نتایج نشان داد که افزودن ۲۲/۴ و ۹/۱ میکرومول تو، فور-دی کلروفونوکسی‌استیک اسید (D,4-D) به محیط کشت به ترتیب با ۹۲ و ۹۷ درصد، بهترین نتیجه را برای کالوس‌زایی از ریزنمونه‌های کوتیلدون و ساقه بهداشت داشت. غلظت بهینه آنتی‌بیوتیک کانامایسین برای انتخاب بافت و سلول‌های تراریخته تعیین شد. همچنان نتایج نشان داد که استفاده از سویه AGL1 با تراکم نوری ۸/۰ در شرایط خلاً بیشترین درصد تراریختی بدست آمد. سنجش هیستوشیمیابی ژن گزارشگر و تجزیه و تحلیل مولکولی، ادغام ژن انتقالی در ژنوم شاخصاره‌های حاصل از رشد جنین و کالوس القاء شده از این شاخصاره‌ها را تأیید کرد. سیستم تراریزش آگروباکتریومی که برای اولین بار در این گزارش توصیف شده است می‌تواند مسیری کارآمد را برای تولید درختان C. griffithii با استفاده از جنین زایگوتی به عنوان ریزنمونه ارائه دهد.

واژه‌های کلیدی: کشت درون‌شیشه‌ای، آگروباکتریوم تومه‌فاسینس، بیان ژن gus، کانامایسین.

مقدمه

وقوع در مناطق معتدله شمالی از جنوب اروپا تا آسیا و آمریکای شمالی را شامل می‌شود (Cheong & Pooler, 2003). گونه‌های این جنس به دلیل برخورداری از جنس Cercis (Fabaceae) که معمولاً به اسم ارغوان شناخته شده است، تقریباً ۱۰ گونه درختی و درختچه‌ای

از ناقل‌های آگروباکتریومی به‌طور موفقیت‌آمیزی برای تراریزش ژنتیکی دامنة وسیعی از گونه‌های گیاهی استفاده شده است. رخدادهای اولیه انتقال T-DNA به داخل ژنوم سلول‌های گیاه میزان از طریق تشخیص هیستوشیمیابی فعالیت ژن گزارشگر β -گلوکورونیداز (gus) تأیید می‌شود. ابداع ناقل دوتایی تراریزش حامل ژن شیمری گزارشگر که در آن توالی رمزشوندۀ gus به‌وسیله یک اینترون قطع شده است، این اطمینان را به‌وجود آورد که فعالیت آنزیمی ژن گزارشگر به جای سلول‌های باکتریایی در داخل سلول‌های گیاه میزان انجام گیرد (Vancanneyt *et al.*, 1990). با استفاده از تکنیک سنجش سریع فعالیت آنزیم گزارشگر gus، ارزیابی سریع اهمیت پارامترهای مختلف اعمال شده برای بهینه‌کردن تراریزش و انتقال T-DNA به ریزنمونه‌ها و سلول‌های میزان امکان‌پذیر شد. تراریزش ژنتیکی به‌کمک آگروباکتریوم به‌طور مؤثر برای مهندسی ژنوم بسیاری از گونه‌های گیاهی بهمنظور دستیابی به صفات مطلوب به‌کار گرفته شده است (Gelvin, 2009). این سیستم به‌دلیل ادغام تعداد کمتری ژن انتقالی به داخل ژنوم میزان، پایداری ژن انتقالی در سلول‌های میزان و کارایی بالای تراریزش، به دیگر روش‌های تراریزش ژنتیکی همانند بمباران ذره‌ای و الکتروپوراسیون ترجیح داده می‌شود (Dai *et al.*, 2001; Travella *et al.*, 2005). هدف از این مطالعه، بهینه‌کردن شرایط مختلف كالوس‌زایی و تراریزش ژنتیکی ارغوان به‌کمک آگروباکتریوم تومه‌فاشینس ناقل پلاسمید حامل ژن گزارشگر gus بود.

مواد و روش‌ها

مواد گیاهی

بذر درخت ارغوان از جنگل‌های پل‌دختر ملاوی واقع در استان لرستان جمع‌آوری، و تا زمان استفاده در دمای 4°C نگهداری شد. بهمنظور شکستن خواب، بذرها به مدت ۹۰ دقیقه با اسید سولفوریک غلیظ (۹۵-۹۷ درصد) تیمار شدند (Schopmeyer, 1974). پس از شکستن خواب و

شکوفه‌های ارغوانی رنگ در اوایل بهار، برگ‌های قلبی شکل و سازگاری با شرایط محیطی متنوع، در جنگل‌داری شهری از ارزش زیباشناختی بالایی برخوردارند. افزون بر این، گونه‌های این جنس دامنة برداری وسیعی به نور دارند، به‌طوری‌که نور کامل تا سایه را به‌خوبی تحمل می‌کنند (Distabanjong & Geneve, 1997) گونه می‌توان به قابلیت رشد سریع در خاک‌های مختلف، امکان فرمدهی مناسب (هرس) و مقاومت بالا به آلودگی‌های محیطی اشاره کرد (Cheong & Pooler, 2003). با وجود این مزایا، حساسیت ارغوان به آلودگی قارچ *Botryosphaeria ribis* عامل بیماری شانکر، آسیب‌پذیری از آفات مختلف تغذیه‌کننده از شاخ و برگ آن در اواخر تابستان (مانند شیشك‌های برگ‌خوار همانند *Callirhopalus bifasciatus*) و دشوار بودن تکثیر کلنی آنبو آن از عوامل محدودکننده استفاده وسیع از این گونه به‌شمار می‌روند (Distabanjong & Geneve, 1997) ژنتیکی در راستای برطرف کردن مواد و محدودیت‌های این گونه ضروری به‌نظر می‌رسد. برنامه‌های سنتی اصلاح ژنتیکی به‌دلیل طولانی بودن مرحله جوانی در بسیاری از درختان کند پیش می‌روند. تراریزش ژنتیکی به‌عنوان رویکردی نوین و کارآمد، می‌تواند برای ایجاد تغییرات اختصاصی و سریع در ژنتیک یا ژنتیک آنها به‌کار گرفته شود به‌هم خوردن زمینه ژنتیکی آنها به‌کار گرفته شود (Shuerman & Dandekar, 1993). در راستای حل مشکلات مشابه در دیگر گونه‌های مهم چوبی با استفاده از تکنیک‌های تراریزش ژنتیکی یافته‌های ارزشمندی گزارش شده است (Strauss *et al.* 1995; Li *et al.* 2003; Li *et al.*, 2007) با وجود این، تاکنون تراریزش موفق ژنتیکی در ارغوان گزارش نشده است. البته با بهینه‌کردن تکنیک‌های کشت بافت و شرایط لازم برای تراریزش به‌کمک آگروباکتریوم تومه‌فاشینس، باززایی گیاه تاریخت در این گونه مهم نیز بهمانند بسیاری از گونه‌های مهم اقتصادی همانند صنوبر ممکن می‌شود.

سویه‌های آگروباکتریوم تومه‌فاسینس

برای انجام آزمایش‌های تراویختی از سویه‌های C58C1، EHA105 و AGL1 آگروباکتریوم تومه‌فاسینس استفاده شد. دو سویه EHA105 و AGL1 ابتدا فاقد پلاسمید دارای زن gus بودند و با استفاده از ناقل دوتایی (CAMBIA, Canberra, pCAMBIA2301 www.cambia.org) حامل زن gus استخراج شده از سویه Tris-HCL CaCl₂ یا C58C1 بر پایه دو روش استفاده از تراویش شدن. ناحیه T-DNA این پلاسمید دو زن نئوماکسین فسفوترانسферاز (*nptII*) بخشندۀ مقاومت به سلول‌های گیاهی در برابر آنتی‌بیوتیک کاتامایسین (Kan) و زن گزارشگر هیستوژیمیابی β -گلوکورونیداز (gus)، که ناحیه رمزشونده آن به‌واسطه یک توالی اینترونی قطع شده است، را حمل می‌کند (شکل ۱). کشت‌های باکتریایی سویه‌های C58C1، EHA105 و AGL1 به‌منظور هم‌کشتی با سلول‌های گیاهی، به‌طور جداگانه در ۳۰ میلی‌لیتر محیط کشت LB مایع حاوی آنتی‌بیوتیک‌های ریفارمیسین (Rif) و Kan کشت شدند. این کشت‌ها تا دستیابی به تراکم نوری ۱۸۰ (OD₆₀₀) تا ۱/۰ بر روی شیکر افقی (۱۸۰ دور در دقیقه) در دمای ۲۸°C رشد داده شدند. به‌منظور تهیه تراکم‌های مختلف، این کشت‌ها با استفاده از محیط LB رقیق گردیدند. قبل از هم‌کشتی باکتری‌ها با سلول‌های گیاهی، به سوسپانسیون‌های باکتریایی استوسرینگان (SIGMA-TAKESHI *et al.*, 1997) ALDRICH با غلظت نهایی ۱۰۰ میکرومول افزوده شد.

شستشوی آنها با آب در حال جریان به‌مدت ۲۰ دقیقه، بذرها در هیپوکلریدسدیم ۲۰ درصد همراه با چند قطره توین ۲۰-۱۵ دقیقه به صورت سطحی ضدغونی و به‌دبیال آن سه بار با آب مقطع شستشو داده شدند. سپس در محیط استریل ابتدا با غوطه‌ور کردن در اتانول ۷۰ درصد به‌مدت ۳ دقیقه، پس از آن در هیپوکلریدسدیم ۲۰ درصد به‌مدت ۳ دقیقه و در نهایت سه بار شستشو (هر بار به‌مدت حداقل ۳ دقیقه) با آب مقطع، بذرها ضدغونی شده در شیشه‌های کشت درون‌شیشه‌ای، بذرها ضدغونی شده در شیشه‌های کشت حاوی ۳۵ میلی‌لیتر محیط کشت موراشیگ و اسکوگ (MS) بدون هورمون، در دمای ۲۵°C با شرایط نوری ۱۶ ساعت روشنایی کشت شدند.

القاء کالوس

برای القاء کالوس ریزنمونه‌های ۸ تا ۱۰ میلی‌متری ساقه و کوتیلدون گیاهچه‌های ۷-۱۰ روزه در محیط کشت MS حاوی غلاظت‌های مختلف تنظیم‌کننده‌های رشد تو، فوردی ۲۲/۴، ۱۷/۹، ۹/۱، ۴/۵ (2,4-D), ۵/۴ (NAA) میکرومول، یا نفتالان‌استیک اسید (MSA) ۲۱/۶، ۱۰/۸، ۵/۴ (BA) ۴/۴ میکرومول به تهایی یا در ترکیب با ۴/۵ میکرومول بنتیل‌آدنین (BA) کشت شدند. تیمارها در قالب ۸ تکرار با ۵ ریزنمونه در هر تکرار بر پایه طرح کاملاً تصادفی اعمال شدند. همه کشت‌ها در دمای ۲۵°C با شرایط نوری ۱۶ ساعت روشنایی، نگهداری و پس از گذشت ۴ هفته از زمان کشت، میانگین تعداد و میانگین وزنی کالوس‌های القاء شده از هر تیمار ثبت شد.



شکل ۱- ساختار خطی ناحیه T-DNA پلاسمید pCAMBIA2301

ارلن‌های ۱۰۰ میلی‌متری حاوی ۵۰ میلی‌لیتر بر لیتر محیط کشت LB غوطه‌ور، و به‌مدت ۴ ساعت در تاریکی و در دمای ۲۸°C بر روی شیکر افقی (۱۰۰ دور در دقیقه) قرار

هم‌کشتی ریزنمونه‌های کالوس و جنین زایگوتی با آگروباکتریوم ریزنمونه‌های کالوس (قطعات با قطر ۱۰۰ تا ۲۰۰ میلی‌متر) و جنین‌های بالغ زایگوتی به‌طور جداگانه در

قرار گرفتند. بافت‌های گیاهی رنگ‌آمیزی شده سپس با استفاده از اتانول ۷۰ درصد کلروفیل زدایی شدند. تعداد بافت‌های متمایز شده از ریزنمونه‌ها که حداقل در یک نقطه رنگ آبی به‌خود گرفته بودند، به صورت درصد از کل ریزنمونه‌های هم‌کشت شده برای هر یک از تیمارهای مورد بررسی ثبت شد. در تمامی بررسی‌ها، بافت‌های متمایز شده غیر تاریخت نیز به عنوان شاهد در بررسی‌های سنجش هیستوشیمیابی *gus* در بافر حاوی سوبسترا قرار داده شدند.

تجزیه PCR

DNA ژنومی ریزنمونه‌های تاریخت، شاخصاره‌های تشکیل شده از جنین زایگوتویی و كالوس القاء شده از این شاخصاره‌ها با استفاده از CTAB و بر پایه روش Keblians و همکاران (۲۰۰۲) با کمی تغییرات استخراج شد. واکنش زنجیره‌ای پلیمراز با حجم نهایی ۱۵ میکرولیتر شامل ۱ میکرولیتر نمونه DNA ژنومی (۴۰ نانوگرم)، ۴ میکرولیتر مسترکیت (۱/۸ میلی‌مولار Mg^{2+} ، ۱۵۰ میکرومولار dNTP و یک واحد تگ‌پلیمراز)، ۳ میکرولیتر آب دیونیزه، ۱ میکرولیتر از هر یک از آغازگرهای مس-تیم (۵'-*TCTCGCGGAGGGTATCG-* ۳') و معکوس (۵'-*CGATCAGGTGCCGAGG-* ۳') (۱۰ میکرومولا) و میکرولیتر روغن معدنی با برنامه زیر انجام شد: مرحله ۳ دقیقه‌ای پیش‌گرما در دمای ۹۴°C، سپس ۲۵ چرخه ۹۴°C به مدت ۶۰ ثانیه (واسرتست‌سازی)، ۶۳°C به مدت ۶۰ ثانیه (اتصال) و ۷۲°C به مدت ۹۰ ثانیه (سنتز) و سرانجام مرحله بسط نهایی در دمای ۷۲°C به مدت ۱۲ دقیقه (پلیمریزاسیون). محصول PCR در ژل آگارز ۱/۲ درصد تفکیک و DNA تکثیر شده پس از رنگ‌آمیزی با محلول ۱/۰ درصد اتیدیوم بروماید، با استفاده از دستگاه ژل‌دیکیومنت آشکارسازی شد. از خطکش ژئی یک‌کیلو بازی (سیناژن) برای تعیین اندازه نوار تکثیر شده استفاده شد.

داده شدند. سپس ریزنمونه‌ها به مدت ۱۰ دقیقه در تراکم‌های نوری...ء مختلف آگروباکتریوم (۰/۴، ۰/۶ و ۰/۸) انکوبه و پس از آن به مدت ۵ روز در محیط هم‌کشتی ($MS + 9.1\ \mu M\ 2,4-D + 4.4\ \mu M\ BA + 200\ \mu M\ AS + 8\ g\ l^{-1}\ agar$) به منظور بررسی تأثیر نوع سویه بر فراوانی تراریزش، به طور جداگانه با هر یک از سویه‌های باکتریایی هم‌کشت شدند. به منظور بررسی اهمیت شرایط خلاً بر تراریزش، ریزنمونه‌های كالوس و جنین بالغ زایگوتویی که به شیوه بالا در محیط کشت LB پیش‌تیمار شده بودند، با سویه AGL1 در تراکم نوری...ء در دو شرایط وجود خلاً و عدم وجود خلاً تلقیح گردیدند. زنده‌مانی ریزنمونه‌های تلقیح شده در تیمارهای مختلف از طریق قرار دادن آنها در محیط حذف ($MS + 9.1\ \mu M\ 2,4-D + 4.4\ \mu M\ BA + 500\ mg\ l^{-1}\ Rif + 8\ g\ l^{-1}\ agar$) بعد ارزیابی رشد آنها تا ۵ هفته بررسی شد. پس از آن ریزنمونه‌ها برای بیان ژن *gus* نیز مورد ارزیابی قرار گرفتند.

تعیین غلظت بهینه آنتی‌بیوتیک کانامايسین برای انتخاب كالوس و شاخصاره تاریخت

برای تعیین غلظت مناسب آنتی‌بیوتیک کانامايسین برای انتخاب شاخصاره تاریخته احتمالی، ریزنمونه‌ها به محیط کشت انتخابی ($MS + 9.1\ \mu M\ 2,4-D + 4.4\ \mu M\ BA + 100\ \mu M\ AS + 8\ g\ l^{-1}\ agar$) میلی‌گرم بر لیتر کانامايسین انتقال داده شدند. رشد و تمایز كالوس و شاخصاره‌های در حال رشد طی یک دوره زمانی ۱ تا ۲ ماهه بر اساس متوقف شدن رشد و سرعت از دست رفتن کلروفیل آنها به صورت مشاهده‌ای بررسی شد.

سنجش هیستوشیمیابی ژن گزارشگر *gus*

به منظور تشخیص هیستوشیمیابی ژن گزارشگر *gus*، شاخصاره‌های بازیابی شده از ریزنمونه‌های هم‌کشت شده و كالوس القاء شده از این شاخصاره‌ها به مدت یک شب در دمای ۳۷°C در بافر حاوی سوبسترات آنزیم (X-Gluc) بر اساس روش Jefferson و همکاران (۱۹۸۷) با کمی تغییرات

نتایج کالوس زایی

به منظور جوانهزنی و تولید گیاهچه مورد نیاز انجام آزمایش‌های مختلف، بذرهای تیمار شده با اسید سولفوریک غلیظ پس از ضدغونی در محیط کشت MS کشت شدند و پس از گذشت یک هفته جوانه زدند (شکل ۲؛ الف). پس از گذشت یک هفته از کشت در محیط‌های کشت کالوس زایی (شکل ۲؛ ب، پ)، ریزنمونه‌ها متورم و آغازه‌های کالوس در مناطق برش ریزنمونه‌ها (در ریزنمونه ساقه) و یا کناره‌ها (ریزنمونه‌های کوتیلدونی) نمایان شدند (شکل ۳؛ الف، ت) و با تدوم رشد توده کالوس تشکیل شده (شکل ۳؛ ب، ث) در هفتة سوم ریزنمونه‌ها تقریباً به طور کامل از توده سلولی پوشیده شدند (شکل ۳؛ پ، چ).

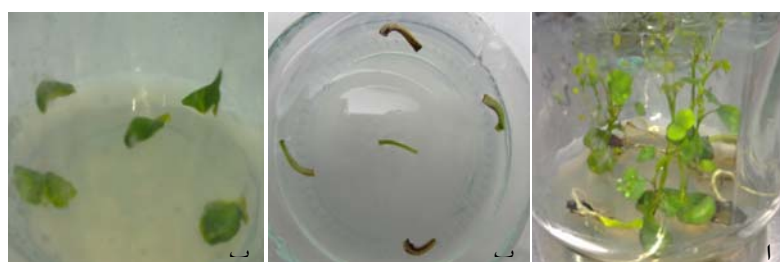
براساس مشاهدات انجام شده، به لحاظ سرعت تشکیل و پیدایش کالوس، بین دو ریزنمونه ساقه و کوتیلدون تفاوت وجود داشت، به طوری‌که این سرعت در ریزنمونه‌های ساقه بیشتر بود. چهار هفته پس از کشت ریزنمونه‌های کوتیلدون و ساقه در محیط‌های القاء کالوس، پارامترهای درصد کالوس زایی و وزن کالوس‌های حاصل از تیمارهای مختلف یادداشت برداری شد که در جدول ۱ نتایج حاصل از تجزیه واریانس این داده‌ها نشان داده شده است. همانطور که این جدول نشان می‌دهد سطوح مختلف اثرات نوع ریزنمونه، غلاظت تنظیم‌کننده‌های رشد و نوع تنظیم‌کننده رشد مورد استفاده و اثرات متقابل آنها با هم بر هر دو صفت کالوس زایی (درصد) و وزن کالوس‌های به دست آمده (گرم) در سطح احتمال ۱ درصد معنی‌دار بود (جدول ۱).

کالوس زایی ریزنمونه‌های ترازیخت شده

پس از رشد گیاهچه‌های ترازیخته حاصل از رشد جنین تلقیح شده با آگروباکتریوم در محیط رشد انتخابی و تأیید حضور ژن *gus* در ژنوم آنها، از ساقه و کوتیلدون برگی این گیاهچه‌ها به عنوان ریزنمونه برای القاء کالوس استفاده شد. ریزنمونه‌های ساقه در محیط کشت MS حاوی ۲ میلی‌گرم بر لیتر D_{2,4} همراه با ۵۰۰ میلی‌گرم بر لیتر سفوتاکسیم + ۱۰۰ میلی‌گرم بر لیتر کاناامایسین، و ریزنمونه‌های کوتیلدون در محیط کشت MS حاوی ۵ میلی‌گرم بر لیتر D_{2,4} همراه با ۵۰۰ میلی‌گرم بر لیتر سفوتاکسیم + ۱۰۰ میلی‌گرم بر لیتر کاناامایسین کشت، و در دمای ۲۵ ± ۲°C در شرایط نوری ۱۶ ساعت روشنایی به مدت ۴ هفته رشد داده شدند. پس از القاء کالوس، تجزیه و تحلیل هیستوشیمیایی و PCR برای ارزیابی حضور ژن *gus* به مانند روش‌های توصیف شده در بالا انجام شد.

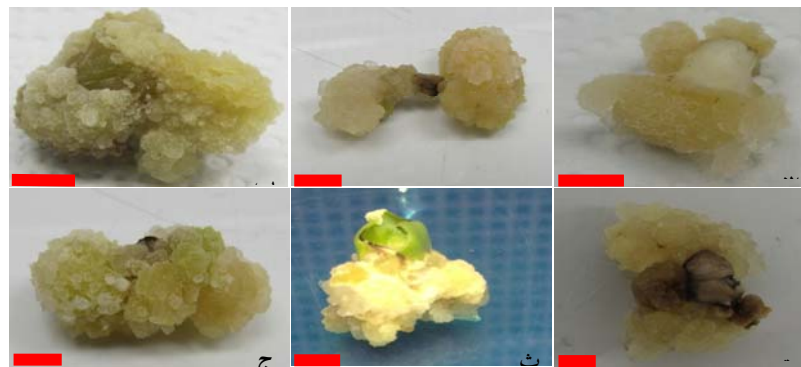
تجزیه و تحلیل داده‌ها

داده‌های حاصل از یادداشت برداری مراحل کالوس زایی و ترازیش ریزنمونه‌های کالوس و جنین زایگوتوی بالغ پس از بررسی نرمال‌بودن با استفاده از آزمون کولموگروف-اسمیرنف، در قالب آزمایش فاکتوریل بر پایه طرح کاملاً تصادفی با استفاده از نسخه ۱۶ نرم‌افزار SPSS تجزیه و تحلیل شدند. مقایسه میانگین‌های حاصل پس از تأیید همگنی واریانس‌ها، با استفاده از آزمون دانکن انجام گردید.



شکل ۲- رشد گیاهچه حاصل از جوانهزنی درون‌شیشه‌ای بذر ارغوان پس از گذشت ۱۰ روز از آغاز کشت (الف) در محیط کشت MS؛ کشت ریزنمونه‌های ساقه (ب) و کوتیلدون (پ) برگرفته از گیاهچه‌های درون‌شیشه‌ای

غلاظت‌های ۵/۴ و ۱۰/۸ میکرومول NAA در ترکیب با ۴/۴ میکرومول BA کمتر از ۱۵ درصد بود (جدول ۲). علاوه بر این، بیشترین (۱/۴ گرم) و کمترین (۰/۱۵ گرم) میانگین وزنی کالوس‌های القاء شده از ریزنمونه‌های کوتیلدون به ترتیب در محیط‌های کشت برخوردار از ۲۲/۴ میکرومول از ۴/۴ به تهایی، و ۲۶/۵ میکرومول NAA در ترکیب با ۲,۴-D به تهایی، و ۹/۱ میکرومول از ۰/۹۱ گرم)، و ۲۶/۵ میکرومول از NAA در ترکیب با ۴/۴ میکرومول BA ثبت شد؛ در مقابل بیشترین و کمترین میانگین ثبت شده برای این صفت در ریزنمونه ساقه به ترتیب مربوط به محیط‌های کشت حاوی ۹/۱ میکرومول ۰/۹۱ گرم، و ۲۶/۵ میکرومول از ۰/۹۱ BA (۲۱/۰ گرم) بود (جدول ۲).



شکل ۳- کالوس‌زایی ریزنمونه‌های ساقه پس از گذشت یک (الف)، دو (ب) و چهار هفته (پ) در محیط کشت MS حاوی ۹/۱ میکرومول ۰/۹۱ گرم، و کوتیلدون پس از گذشت دو (ت)، سه (ث) و چهار هفته (ج) در محیط کشت MS حاوی ۲۶/۵ میکرومول ۰/۹۱ BA (خط کش: ۱۰ میلی‌متر)

جدول ۱- نتایج تجزیه واریانس اثر نوع ریزنمونه، نوع و غلاظت تنظیم‌کننده رشد بر کالوس‌زایی در ارغوان

وزن کالوس	درصد کالوس	درجه آزادی	منبع تغییرات
میانگین مربعات			
۱/۲۱**	۲۶۲۸/۱**	۱	نوع ریزنمونه
۱۱/۲۴**	۶۹۳۷۸/۱**	۱	نوع تنظیم‌کننده رشد
۰/۸**	۵۰۷۸/۱**	۳	غلاظت تنظیم‌کننده رشد
۲/۹**	۱۱۶۲۸/۱**	۱	نوع ریزنمونه × نوع تنظیم‌کننده رشد
۰/۹۱**	۳۹۸۶/۴**	۳	نوع ریزنمونه × غلاظت تنظیم‌کننده رشد
۰/۳۳**	۵۲۶۹/۷**	۳	نوع تنظیم‌کننده رشد × غلاظت تنظیم‌کننده رشد
۱/۶۹**	۸۳۵۳/۱**	۳	نوع ریزنمونه × نوع تنظیم‌کننده رشد × غلاظت تنظیم‌کننده رشد
۰/۰۳	۱۱۴/۷	۱۱۲	خطای آزمایشی
۱۱/۰	۱۸/۸	-	ضریب تغییرات (درصد)

*: معنی دار در سطح یک درصد

جدول ۲- میانگین درصد کالوس زایی و وزن کالوس‌های القاء شده در تیمارهای مختلف تنظیم‌کننده‌های رشد

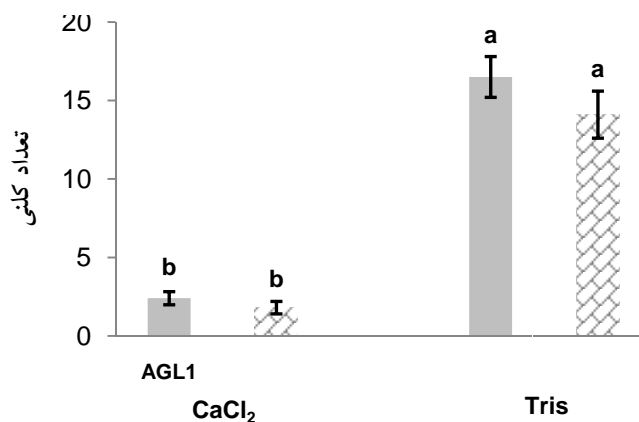
ریزنمونه	تنظیم‌کننده رشد (میکرومول)	درصد کالوس ($\mu \pm SE$)	وزن کالوس ($\mu \pm SE$)
کوتیلدون	BA+NAA	۴/۵۰ \pm ۰/۰۲ ^f	۰/۰۹ \pm ۰/۰۲ ^f
	۴/۴ + ۵/۴	۵/۰۰ \pm ۰/۱ ^f	۰/۱۳ \pm ۰/۰۱ ^f
	۴/۴ + ۱۰/۸	۵/۰۰ \pm ۰/۲ ^f	۰/۱۱ \pm ۰/۰۱ ^f
	۴/۴ + ۲۱/۶	۱۷/۵۰ \pm ۳/۶ ^e	۰/۱۵ \pm ۰/۰۴ ^{ef}
	۴/۴ + ۲۶/۵	۱۷/۵۰ \pm ۴/۵ ^e	۰/۲۴ \pm ۰/۰۶ ^{def}
	۲,۴-D	۷۵/۰۰ \pm ۴/۶ ^c	۰/۸۹ \pm ۰/۰۸۱ ^c
	۹/۱	۸۵/۰۰ \pm ۴/۳ ^{b,c}	۱/۴۰ \pm ۰/۱۴۶ ^a
	۱۷/۹	۹۷/۵ \pm ۲/۵ ^a	۱/۳۸ \pm ۰/۰۸۶ ^a
	۲۲/۴	۷/۵۰ \pm ۰/۲ ^f	۰/۱۰ \pm ۰/۰۱ ^f
	۴/۴ + ۵/۴	۱۰/۰۰ \pm ۰/۱ ^f	۰/۱۲ \pm ۰/۰۲ ^f
	۴/۴ + ۱۰/۸	۳۵/۰۰ \pm ۴/۸ ^d	۰/۳۶ \pm ۰/۰۲ ^{de}
	۴/۴ + ۲۱/۶	۱۷/۵ \pm ۴/۵ ^e	۰/۲۱ \pm ۰/۰۵ ^{de}
	۴/۴ + ۲۶/۵	۳۵/۰۰ \pm ۴/۹ ^d	۰/۳۹ \pm ۰/۰۷ ^d
	۴/۵	۹۲/۵۰ \pm ۵/۲ ^{ab}	۰/۹۱ \pm ۰/۱۰ ^b
ساقه	۲,۴-D	۱۷/۵۰ \pm ۴/۵ ^e	۰/۲۱ \pm ۰/۰۶ ^{def}
	۹/۱	۱۷/۵۰ \pm ۴/۵ ^e	۰/۲۲ \pm ۰/۰۵ ^{def}
	۱۷/۹	۹۷/۵ \pm ۲/۵ ^a	
	۲۲/۴		

تعیین غلظت بهینه عامل گزینش‌گر

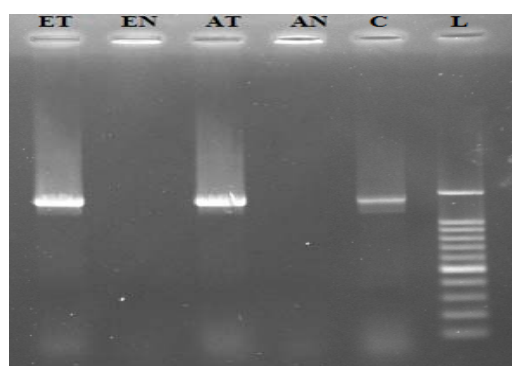
به منظور تعیین غلظت بهینه کاناماپسین در محیط کشت برای رشد انتخابی سلول‌های تراریخت شده احتمالی، قطعات کالوس و جنین‌های زایگوتویی در محیط کشت MS حاوی غلظت‌های مختلف کاناماپسین کشت شدند. هنگامی که ریزنمونه‌های جنین زایگوتویی تلقیح نشده در محیط کشت حاوی آنتی‌بیوتیک کاناماپسین قرار گرفتند، تعداد ریزنمونه‌های قادر به ادامه رشد و تولید یک یا تعداد بیشتری شاخساره از ۸۶ درصد در محیط شاهد حاوی صفر میلی‌گرم بر لیتر، به ۶۸، ۴۸، ۴۶، ۲۷ و صفر درصد به ترتیب در محیط‌های کشت حاوی ۷۵، ۵۰، ۲۵ و ۰ میلی‌گرم بر لیتر کاناماپسین کاهش یافت (شکل ۶).

تراریزش سویه‌های آگروباکتریوم

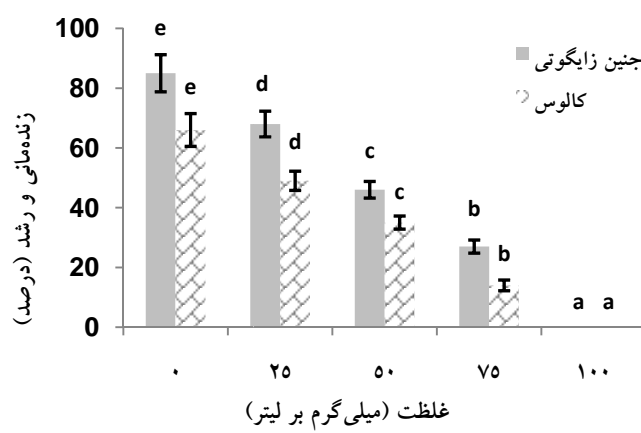
پلاسمید حامل ژن‌های نومایسین فسفوترانسферاز (*nptII*) و β -گلوکورونیداز (*gus*) از سویه C58C1 استخراج شد و سویه‌های EHA105 و AGL1 از طریق دو روش تراریختی (استفاده از کلریدکلسیم یا استفاده از تریس) با آن تراریزش شدند. پس از گذشت ۴۸ ساعت از کشت سویه‌های تراریزش شده احتمالی در محیط انتخابی، تعداد کلی‌های تشکیل شده از شمارش شدند. مقایسه میانگین تعداد کلی‌های دارای تریس با دو روش مختلف تراریزش که دارای اختلاف معنی‌دار بود، نشان داد که روش استفاده از تریس برای رشد تعداد کلی تراریخته بیشتر کارآمدتر است (شکل ۴). تکثیر ژن β -گلوکورونیداز در واکنش زنجیره‌ای پلیمراز (PCR) با استفاده از آغازگرهای اختصاصی، وجود این ژن را در ژنوم سویه‌های تراریخت شده تأیید کرد (شکل ۵).



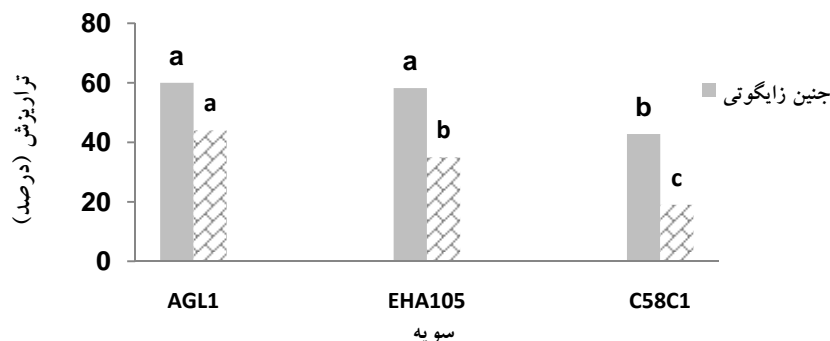
شکل ۴- تأثیر دو روش استفاده از کلرید کلسیم (CaCl₂) و تریس (Tris) در تراریختش بر فراوانی کلنی‌های تراریخته



شکل ۵- الکتروفورز محصول Nested PCR تکثیر ژن β -گلوکورونیداز از پلاسمید سویه‌های باکتریایی تراریخت شده.
C58C1 :EN غیرتراریخت؛ AGL1 :AT غیرتراریخت؛ AN :AGL1 تراریخت؛ C :EHA105 غیرتراریخت؛ ET :GUS ناقل ژن؛ L :نشانگر اندازه ۱/۵ کیلوبازی



شکل ۶- تأثیر غلظت‌های مختلف کانامایسین بر رشد ریزنمونه‌های جنین زایگوتی و کالوس (محیط کشت: MS دارای ۹/۱ میکرومول BA و ۲,۴-D در ترکیب با ۴/۴ میکرومول)



شکل ۷- مقایسه میانگین تأثیر نوع سویه آگروباکتریوم تومه‌فاشینس بر فراوانی ریزنمونه‌های تراریخته

درصد افزایش یافت؛ تلقیح ریزنمونه‌ها با سویه AGL1 تعداد جنین زایگوتوی و کالوس تراریزش شده را به ۶۰/۱ و ۴۴ درصد افزایش داد (شکل ۷).

اثر شرایط خلاً بر بیان ژن *gus* در ریزنمونه‌های جنین زایگوتوی و کالوس
تأثیر و اهمیت شرایط خلاً بر توان تراریختی سویه‌های آگروباکتریوم در همکشتی با ریزنمونه‌های جنین زایگوتوی و کالوس القاء شده بررسی شد. نتایج نشان داد که استفاده از پمپ خلاً در تراریزش کالوس و جنین‌های زایگوتوی، منجر به افزایش معنی دار (در سطح احتمال یک درصد) فراوانی تراریزش ریزنمونه‌های جنین زایگوتوی از ۴۵/۶ به ۶۰/۴ درصد و ریزنمونه‌های کالوس از ۳۸/۵ به ۵۱/۸ درصد شد (شکل ۸).

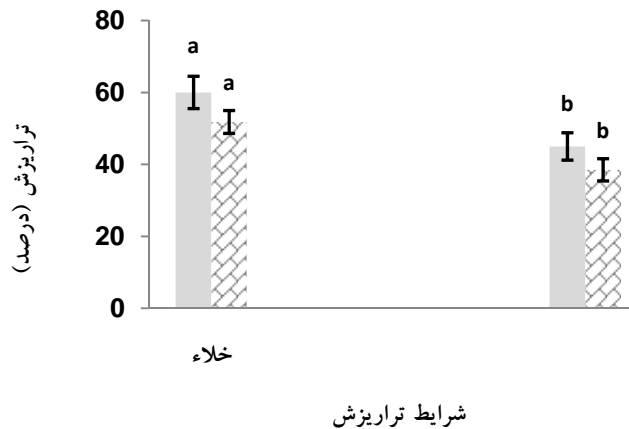
اثر تراکم سلولی آگروباکتریوم بر بیان ژن *gus* در ریزنمونه‌های جنین زایگوتوی و کالوس
ریزنمونه‌های جنین زایگوتوی و قطعات کالوس به منظور بررسی تأثیر تراکم سلولی آگروباکتریوم در سوسپانسیون باکتریایی با تراکم‌های سلولی متفاوت در شرایط خلاً تلقیح شدند. هنگامی که تراکم سلولی سوسپانسیون سویه AGL1 ۴/۰ بود، فقط ۱۸ درصد از قطعات تلقیح شده کالوس و ۴۲ درصد از ریزنمونه‌های جنین زایگوتوی نسبت به تجزیه و تحلیل هیستوشیمیایی *gus* رنگ آبی به خود گرفتند. با افزایش تراکم سلولی آگروباکتریوم، بر فراوانی کالوس یا ریزنمونه‌های جنین

به طور مشابه، با کشت قطعات کالوس در محیط کشت حاوی آنتی‌بیوتیک کانامایسین، فراوانی ریزنمونه‌های در حال رشد از ۶۶ درصد در محیط عاری از این آنتی‌بیوتیک، به ۴۹، ۳۵، ۱۴ و صفر درصد به ترتیب در محیط‌های کشت دارای ۲۵، ۵۰، ۷۵ و ۱۰۰ میلی‌گرم بر لیتر کانامایسین کاهش یافت (شکل ۶). با وجود این، غلظت‌های بیشتر از ۱۰۰ میلی‌گرم بر لیتر این آنتی‌بیوتیک در محیط کشت انتخابی، علاوه بر توقف رشد منجر به قهوه‌ای شدن بافت ریزنمونه‌ها شد. بدین ترتیب، غلظت ۱۰۰ میلی‌گرم بر لیتر کانامایسین به عنوان مناسب‌ترین غلظت برای انتخاب ریزنمونه‌های همکشت شده انتخاب شد.

اثر نوع سویه آگروباکتریوم بر بیان ژن *gus* در ریزنمونه‌های جنین زایگوتوی و کالوس

جنین‌های زایگوتوی (۲۵۰ ریزنمونه) و قطعات کالوس (۱۰۰ ریزنمونه) با استفاده از سه سویه C58C1، EHA105 و AGL1 آگروباکتریوم تومه‌فاشینس به منظور پی‌بردن به کارآمدترین آنها به لحاظ توان تراریختی، در تراکمنوری ۸/۰ و در شرایط خلاً تلقیح شدند. نتایج نشان داد که نوع سویه بر فراوانی کالوس‌ها و جنین‌های زایگوتوی تراریخته به طور معنی داری موثر است. هنگامی که این ریزنمونه‌ها با سویه C58C1 تلقیح شدند، فراوانی تراریزش در ریزنمونه‌های جنین زایگوتوی ۴۲/۸ و در ریزنمونه‌های کالوس ۱۹ درصد بود؛ این فراوانی در جنین‌های زایگوتوی تلقیح شده با سویه EHA105 به ۵۸/۲ درصد و در ریزنمونه‌های کالوس به ۳۵

زایگوتی شد (شکل ۹). البته در این آزمایش تراکم‌های بیشتر آگروباکتریوم مورد بررسی قرار نگرفتند، زیرا تراکم‌های خیلی بالا منجر به بیش‌رشد باکتری‌ها بر روی ریزنمونه‌ها و بدنبال آن کاهش توان رشد ریزنمونه‌ها می‌شد.



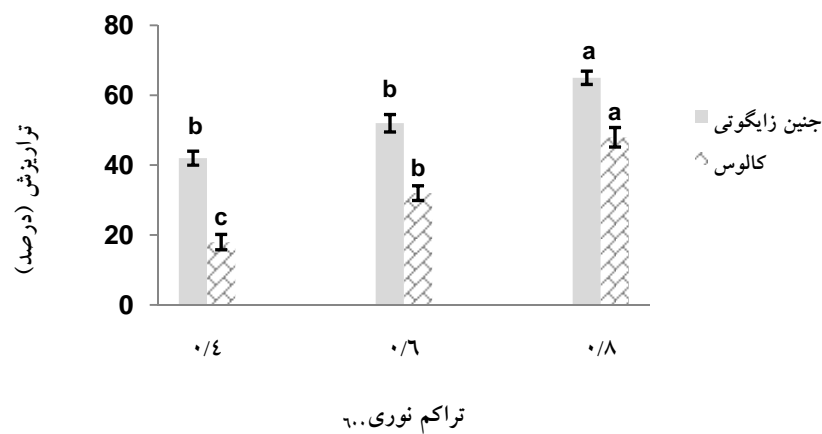
روز از کشت، فقدان توان ریزنمونه‌های غیرتاریخته برای ادامه رشد در محیط انتخابی با توقف رشد آشکار گردید. ریزنمونه‌های کوتیلدون و ساقه حاصل از گیاهچه‌های تراریخت احتمالی برای القاء كالوس در محیط کشت MS حاوی ۵ و ۲ میلی‌گرم بر لیتر D-2,4-۱۰۰ میلی‌گرم بر لیتر کانامایسین و ۵۰۰ میلی‌گرم بر لیتر سفوتاکسیم کشت شدند. پس از گذشت ۴ هفته كالوس‌های تراریخته احتمالی، برای تأیید تراریخته به صورت هیستوشیمیایی و مولکولی مورد ارزیابی قرار گرفتند.

زایگوتی دارای رنگ آبی ناشی از دریافت β -گلوکورونیداز افروده شد، به طوری که تلقیح ریزنمونه‌ها در تراکم نوری ۶۰٪ منجر به افزایش این فراوانی تا ۴۸/۶ درصد در ریزنمونه‌های كالوس و ۶۵/۴ درصد در ریزنمونه‌های جنین

بازایی شاخصاره از جنین زایگوتی تراریخته و القاء كالوس از شاخصاره‌های تشکیل شده
پس از تلقیح ریزنمونه‌های جنین زایگوتی با سویه AGL1 آگروباکتریوم تومه‌فاسینس در تراکم نوری ۶۰٪ و در شرایط خلا، ریزنمونه‌ها در محیط هم‌کشتی کشت، و پس از ۴۸ ساعت به محیط کشت MS مایع حاوی ۱۰۰ میلی‌گرم بر لیتر سفوتاکسیم انتقال داده شدند. سپس ریزنمونه‌ها به محیط MS جامد حاوی ۵۰۰ میلی‌گرم بر لیتر سفوتاکسیم منتقل، و بعد از این دوره بر روی محیط انتخابی حاوی ۱۰۰ میلی‌گرم بر لیتر کانامایسین کشت گردیدند. پس از گذشت



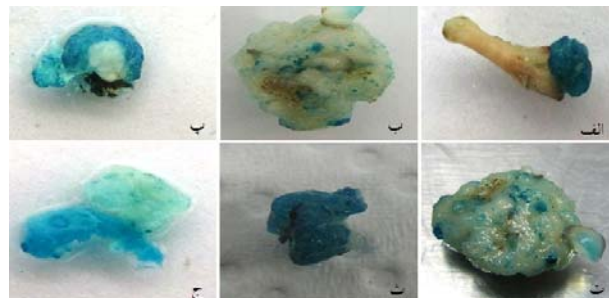
شکل ۸- مقایسه میانگین فراوانی ریزنمونه‌های تراریخته در دو شرایط خلا و بدون خلا



شکل ۹- مقایسه میانگین تأثیر تراکم‌های مختلف سویه AGL1 آگروباکتریوم بر فراوانی ریزنمونه‌های تراریخته



شکل ۱۰- تجزیه و تحلیل هیستوشیمیایی گیاهچه‌های تراریخته در حضور سوبسٹرای X-Gluc. الف- ب) گیاهچه‌های تراریخت شده با سویه C58C1 به ترتیب در شرایط خلاً و غیر خلاً؛ پ- ت) گیاهچه‌های تراریخت شده با سویه EHA105 به ترتیب در شرایط خلاً و غیر خلاً؛ ث- ج) گیاهچه‌های تراریخت شده با سویه AGL1 به ترتیب در شرایط خلاً و غیر خلاً

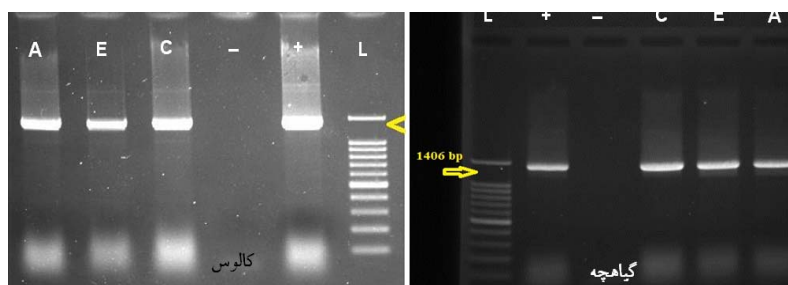


شکل ۱۱- فعالیت پروتئین آنزیمی در کالوس القاء شده از گیاهچه‌های تراریخت در حضور سوبسٹرای X-Gluc. الف- ب) با استفاده از سویه C58C1 به ترتیب در شرایط خلاً و غیر خلاً؛ پ- ت) با استفاده از سویه EHA105 به ترتیب در شرایط خلاً و غیر خلاً؛ ث- ج) با استفاده از سویه AGL1 به ترتیب در شرایط خلاً و غیر خلاً

تراریخته و كالوس القاء شده از آنها از طریق تکثیر PCR با استفاده از آغازگرهای اختصاصی ژن β -گلوکورونیداز انجام شد. با توجه به اندازه قطعه هدف تکثیر اختصاصی آغازگرهای، یک قطعه تقریباً ۱۴۰۶ جفت بازی تکثیر شد. شکل ۱۲ نوار حاصل از این تکثیر را پس از الکتروفورز محصول PCR و آشکارسازی از طریق رنگ آمیزی با اتیدیوم بروماید نشان می دهد.

تجزیه و تحلیل گیاهان تراریخته برای تأیید حضور ژن *gus* در ژنوم گیاهچه های حاصل از رشد ریزنمونه های تلقیح شده با سویه های مختلف باکتریایی، آنالیز هیستوشیمیایی این گیاهچه ها (شکل ۱۰) و كالوس های حاصل از آنها (شکل ۱۱) در حضور سوبسترای آنزیم β -گلوکورونیداز یعنی X-Gluc انجام شد.

علاوه بر تجزیه و تحلیل هیستوشیمیایی، تأیید مولکولی حضور ژن *gus* پس از استخراج DNA از گیاهچه های



شکل ۱۲- الکتروفورز محصول PCR ژن *gus* از DNA گیاهچه تراریخت شده و كالوس حاصل از آن؛ L: نشانگر اندازه ۱/۵ کیلو بازی؛ +: کنترل مثبت (محصول PCR از پلاسمید ناقل ژن *gus*)؛ -: کنترل منفی (بافت غیر تراریخت)؛ C، E و A: به ترتیب نوار تکثیر شده ژن *gus* از DNA بافت تراریخت شده با سویه AGL1، EHA105، C58C1 و ۲,۴- D میکرومول

میکرومول ثبت شد. در این مطالعه، با افزایش غلظت ۲,۴-D به بیشتر از ۹/۱ میکرومول درصد كالوس زایی از ریزنمونه های ساقه کاهش یافت. عقیده بر این است که کاهش كالوس زایی در غلظت های بالای این تنظیم کننده رشد می تواند ناشی از خاصیت علف کشی آن باشد (Lim et al., 2009).

مقایسه درصد كالوس زایی ریزنمونه های کوتیلدون و ساقه در محیط های کشت نشان داد که ریزنمونه های کوتیلدون با تفاوت معنی داری نسبت به ریزنمونه های ساقه كالوس زایی بیشتری داشتند (جدول ۱). در ارتباط با وزن كالوس ها نیز، بر اساس نتایج این تحقیق كالوس های حاصل از ریزنمونه کوتیلدون با تفاوت معنی داری نسبت به كالوس های حاصل از ساقه از وزن بیشتری برخوردار بودند (جدول ۱)، به طوری که بیشترین وزن، در كالوس های حاصل از کشت ریزنمونه های کوتیلدونی و در حضور ۲,۴ میکرومول ۲۲/۴ مشاهده شد (جدول ۱).

بحث

نتایج تجزیه واریانس داده های القاء كالوس از ریزنمونه های کوتیلدون و ساقه برگرفته از گیاهچه های درون شیشه ای نشان داد که تأثیر نوع ریزنمونه، نوع و غلظت تنظیم کننده های رشد مورد استفاده و همچنین اثر متقابل آنها بر القاء كالوس و وزن كالوس های القاء شده در سطح احتمال ۱ درصد معنی دار است (جدول ۱). در مورد تأثیر غلظت اکسین های مورد استفاده در القاء كالوس، نتایج نشان داد که درصد كالوس زایی در غلظت های مساوی، در حضور NAA کمتر از ۲,۴-D بود (جدول ۲). در محیط های کشت دارای اکسین NAA بیشترین فراوانی كالوس زایی (۱۷/۵ درصد) در محیط دارای ۲۱/۶ ۲,۴-D میکرومول مشاهده شد. در مقابل، در تمامی غلظت های ۲,۴-D كالوس زایی مشاهده شد، در این تنظیم کننده رشد بیشترین كالوس زایی از ریزنمونه های ساقه در محیط کشت دارای ۹/۱ میکرومول و از ریزنمونه های کوتیلدون در حضور ۲۲/۴

EHA105 و AGL1 بر تراریزش ریزنمونه‌های جنین زایگوتوی به لحاظ آماری معنی دار نبود. از رنگ آمیزی هیستوشیمیایی سلول‌های تراریخت دارای ژن گوارشگر gus به منظور اطمینان از انتقال T-DNA از آگروباکتریوم تومه‌فاسینس به ریزنمونه‌های کالوس و جنین‌های زیگوتوی ارغوان (*C. griffitii*) استفاده شد. این روش سنجش، بهینه‌کردن برخی شرایط کلیدی مهم در دستیابی به فراوانی بالای سلول‌های تراریخته را ممکن کرد. ریزنمونه‌های با سویة AGL1 آگروباکتریوم تومه‌فاسینس حامل ناقل دوگانه pCAMBIA2301 دارای ژن اینتررون دار gus در دو شرایط (خلأ و بدون خلأ) و در سه تراکم نوری... (۰/۶، ۰/۸ و ۰/۴) تلقیح شدند. نتایج نشان داد که قرارگیری سلول‌های هدف و سلول‌های باکتری در شرایط خلأ فراوانی ریزنمونه‌های تراریخته را افزایش می‌دهد. در تراریزش *Phaseolus vulgaris* (Liu et al., 2005) و *Fraxinus pennsylvanica* (Du & Pijut, 2009) استفاده از شرایط خلأ باعث افزایش سطح بیان ژن و فراوانی گیاهچه‌های تراریخته شده است. همچنین گزارش شده است که استفاده از شرایط خلأ می‌تواند در افزایش درصد تراریختی بافت‌های مختلف در گیاهان چوبی مؤثر باشد (Jube & Borthakur, 2009). بنابراین به نظر می‌رسد که مؤثر بودن شرایط خلأ در افزایش تراریختی، ناشی از افزایش سطح تماس آگروباکتریوم با بافت هدف و متاجم تر شدن سلول‌های آگروباکتریوم باشد (Yang et al., 2005).

تراکم سلول‌های آگروباکتریوم تومه‌فاسینس بر تراریزش سلول‌های گیاهی به طور معنی داری تأثیرگذار بود، به طوری که حداقل کارایی تراریزش زمانی اتفاق می‌افتد که سلول‌های بافت هر دو ریزنمونه کالوس (۴۸/۶ درصد) و جنین زایگوتوی (۶۵/۴ درصد) با تراکم نوری... (۰/۸ آگروباکتریوم تلقیح شوند. در این آزمایش تراکم‌های بیشتر آگروباکتریوم به دلیل بیش‌رشد باکتری بر روی ریزنمونه‌ها در تراکم‌های بالاتر و بدنبال آن کاهش قابلیت رشد ریزنمونه‌ها (Mannan et al., 2009) مورد بررسی قرار نگرفتند. البته تراکم سلول‌های آگروباکتریوم به عنوان عاملی مؤثر بر

در تراریزش دو سویة AGL1 و EHA105 آگروباکتریوم تومه‌فاسینس تأثیر روش تراریزش (کلرید کلسیم و تریس) بر فراوانی کلنی‌های تراریخته مورد بررسی قرار گرفت. نتایج نشان داد که تعداد کلنی‌های حاصل از استفاده از تریس به طور معنی داری بیشتر از روش کلرید کلسیم بود (شکل ۴). از تریس برای تراریزش و تولید سلول‌های باکتریایی مستعد استفاده شده است (Hofgen et al., 1988). تأثیر متفاوت تریس و کلرید کلسیم بر نفوذپذیری دیواره سلولی سویه‌های مختلف باکتریایی گزارش شده است (Chen et al., 1994).

در هر فرایند تراریختی ضروری است تا غلط نشان داد که این انتخابی برای گرینش سلول‌ها و بافت‌های تراریخته تعیین شود (Li et al., 2007). در این مطالعه توان زنده‌مانی ریزنمونه‌های تراریخت نشده ارغوان با غلط نشان داد که کانامايسین مورد بررسی قرار گرفت و نتایج نشان داد که غلط ۱۰۰ میلی‌گرم بر لیتر از آنتی‌بیوتیک کانامايسین (عامل انتخابی) برای توقف رشد و مرگ سلول‌های غیرتراریخت کافیست. بدین ترتیب، می‌توان گفت که مقاومت سلول‌های ارغوان نسبت به کانامايسین بالا بود. مقاومت بالا به کانامايسین در بیشتر گونه‌های چوبی به خصوص گونه‌های خانواده لگومینوزه و *Fabaceae* مشاهده شده است؛ به عنوان مثال، برای انتخاب تراریخت‌ها افزودن ۳۰۰ میلی‌گرم بر لیتر از این آنتی‌بیوتیک در برخی گونه‌ها همانند *Acacia mangium* و *Robinia pseudoacacia* شده است (Igasaki et al., 2000; Xie & Hang, 2001)، این در حالیست که سلول‌های بسیاری از گونه‌ها همانند *Platanus acerifolia* توانایی باززایی خود را در غلط‌های بیشتر از ۲۰ میلی‌گرم بر لیتر کانامايسین از دست می‌دهند (Li et al., 2007).

در رابطه با تأثیر نوع سویة باکتری بر میزان تراریزش ریزنمونه‌های ارغوان، نتایج نشان داد که کارآمدی تراریزش سویة C58C1 در ریزنمونه‌های جنین و زایگوتوی کالوس با اختلاف معنی داری کمتر از دو سویة AGL1 و EHA105 بود (شکل ۷). با وجود این، تفاوت اثرگذاری دو سویة

آگروباکتریومی برای تغییر صفات در این گونه به لحاظ تکنیکی امکان پذیر است.

منابع مورد استفاده

- Chen, H., Nelson, R.S., Serwood, J.L., 1994. Enhanced recovery of transformants of *Agrobacterium tumefaciens* after freeze-thaw transformation and drug selection. *Biotechniques*, 16: 664–670.
- Cheong, E., Pooler, M.R., 2003. Micropropagation of chinese redbud (*Cercis yunnanensis*) through axillary bud breaking and induction of adventitious shoots from leaf pieces. In Vitro Cellular and Developmental Biology, 39: 455–458.
- Dai, S.H., Zheng, P., Marmey, P., Zhang, S.P., Tian, W.Z., Chen, S.Y., Beachy, R.N., Fauquet, C., 2001. Comparative analysis of transgenic rice plants obtained by *Agrobacterium*-mediated transformation and particle bombardment. *Molecular Breeding*, 7:25–33.
- Distabanjong, K.; Geneve, R.L., 1997. Multiple shoot formation from cotyledonary node segments of eastern redbud. *Plant Cell, Tissue and Organ Culture*, 47: 247–254.
- Down, R.E., Ford, L., Bedford, S.J., Gatehouse, L.N., Newell, C., Gatehouse, J.A., Gatehouse, A.M.R., 2001. Influence of plant development and environment on transgene expression in potato and consequences for insect resistance. *Transgenic Researches*, 10:223–236.
- Du, N., Pijut, P.M., 2009. *Agrobacterium*- mediated transformation of *Fraxinus pennsylvanica* hypocotyls and plant regeneration. *Plant Cell Reports*, 28: 915–923.
- Gelvin, S.B., 2009. *Agrobacterium* in the genomics age. *Plant Physiology*, 150:1665–1676.
- GU, X.F., Meng, H.Q.G., Zhang, J.R., 2008. *Agrobacterium*-mediated transformation of the winter jujube (*Zizyphus jujuba* Mill.).*Plant Cell Tissue and Organ Culture*, 94: 23– 32.
- Hofgen, R., Willmitzan, L., 1988. Storage of competent cell for *Agrobacterium* transformation. *Nucleic Acids Research*, 6: 9877.
- Igasaki, T., Shinohara, K., Ichikawa, H., Mohri, T., 2000. *Agrobacterium tumefaciens*-mediated transformation of *Robinia pseudoacacia*.*Plant Cell Reports*, 19: 448–453.
- Jefferson, R.A., Kavanagh, T.A., Bevan, M.W., 1987. gus fusions: β-glucuronidase as a sensitive and versatile gene fusion marker in higher plants. *EMBO J* 6:3901–3907

کارایی تراریزش سلول‌های گیاهی قبل از گزارش شده است (Gu et al., 2008; Suzuki & Nakano, 2002).

با استفاده از پارامترهای بهینه شده نوع سویه و تراکم نوری آن، ریزنمونه‌های کالوس و جنین زایگوتو *C. griffitii* در شرایط خلاً با بهره‌گیری از پایش بیان ژن gus با سویه AGL1 تلقیح شدند و بعد در محیط کشت انتخابی دارای کاتامایسین قرار داده شدند. غلظت ۱۰۰ میلی‌گرم بر لیتر از آنتی‌بیوتیک کاتامایسین برای متوقف کردن رشد سلول‌های غیرتاریخته مؤثر بود. حضور ژن β-گلوکورونیداز در ژنوم سلول‌های شاخصاره‌های حاصل از رشد جنین‌های تاریخته و قطعات کالوس القاء شده از این شاخصاره‌ها با استفاده از آغازگرهای اختصاصی این ژن در واکنش تکثیر PCR تأیید شد.

همچنین ژن گزارشگر gus، به عنوان بخشی از قطعه T-DNA، در این بافت‌ها بیان شد. با وجود این، پخش شدگی رنگ هیستوشیمیابی در سرتاسر بافت‌های ریزنمونه‌های تلقیح شده با هر یک از سویه‌ها یکدست و یکنواخت نبود؛ افرون بر این، این توزیع در ریزنمونه‌های تلقیح شده با یک سویه با توزیع آن در دیگر سویه‌ها متفاوت بود. با وجود CaMV 35S که بیان ژن گزارشگر gus را در ناحیه T-DNA کنترل می‌کند، به صورت فرآگیر در همه جای بافت‌های تاریخته بیان می‌شود. بنابراین، غیریکنواختی بیان ژن گزارشگر gus در سلول‌های بافت تاریخته ممکن است بیانگر شیمری شدن بافت تشکیل شده از ریزنمونه تلقیح شده با آگروباکتریوم از طریق سلول‌های چندگانه شرکت‌کننده در تشکیل شاخصاره و کالوس، و یا عدم پایداری ژنتیکی قطعه T-DNA در سلول‌های هدف باشد (Down et al., 2001).

بنابراین در این مطالعه برخی پارامترهای دخیل در تراریزش موفق سلول‌های *C. griffitii* به کمک آگروباکتریوم توجه شده است. اگرچه نویسنده‌گان این گزارش موفق به بازیابی گیاه کامل از کالوس تاریخته نشدند، اما این نتایج نشان داد که بکارگیری سیستم تراریزش

- Shuerman, P.L., Dandekar, A.M., 1993. Transformation of temperate woody crops: progress and potentials. *Scientia Horticulturae*, 55:101–124.
- Strauss, S.H., Rottmann, W.H., Brunner, A.M., Sheppard, L.A., 1995. Genetic engineering of reproductive sterility in forest trees. *Molecular Breeding*, 1: 5–26.
- Suzuki, S., Nakano, M., 2002. *Agrobacterium*–mediated production of transgenic plants of *Muscari armeniacum* Leichtl. *Plant Cell Reports*, 20: 835–841.
- Takeshi, M., Yuzuru, M., Kenji, S., 1997. *Agrobacterium tumefaciens*–mediated transformation of Japanese white birch (*Betula platyphyla* var. *japonica*). *Plant Science*, 127:53–60.
- Travella, S., Ross, S.M., Harden, J., Everett, C., Snape, J.W., Harwood, W.A., 2005. A comparison of transgenic barley lines produced by particle bombardment and *Agrobacterium*–mediated techniques. *Plant Cell Reports*, 23:780–789.
- Vancanneyt, G., Schmidt, R., O'Connor-Sanchez, A., Willmitzer, L., Rocha-Sosa, M., 1990. Construction of an intron-containing marker gene: splicing of the intron in transgenic plants and its use in monitoring early events in *Agrobacterium*–mediated plant transformation. *Molecular Genomes and Genetics*, 220:245–250.
- Xie, D., Hong, Y., 2001. In vitro regeneration of *Acacia mangium* via organogenesis. *Plant Cell, Tissue and Organ Culture*, 66:167–173.
- Yang, A.F., Duan, X.G., Gu, X.F., Gao, F., Zhang J.R., 2005. Efficient transformation of beet (*Beta vulgaris*) and production of plants with improved salt-tolerance. *Plant Cell Tissue and Organ Culture*, 83:259–270.
- Jube, S., Borthakur, D., 2009. Development of an *Agrobacterium*–mediated transformation protocol for the tree-legume *Leucaena leucocephala* using immature zygotic embryos. *Plant Cell Tissue and Organ Culture*, 96: 325–333.
- Keblians, M., Gonzales, G., Chl-Manzanero, B., Infante, D., 2002. A rapid and simple method for small scale DNA extraction in *Agavaceae* and other tropical plants. *Plant Molecular Biology Reporter*, 20: 299–299.
- Li, D.D., Shi, W., Deng, X.X., 2003. Factors influencing *Agrobacterium*–mediated embryogenic callus transformation of Valencia sweet orange (*Citrus sinensis*) containing the pTA29–barnase gene. *Tree Physiology*, 23: 1209–1215.
- Li, Z.N., Fang, F., Liu, G.F., Bao, M.Z., 2007. Stable *Agrobacterium*–mediated genetic transformation of London plane tree (*Platanus acerifolia* Willd.). *Plant Cell Reports*, 26: 641–650.
- Lim, W., Park, J., Park, S., 2009. Re-evaluation of the effects of growth regulators on callus induction and shoot regeneration in *Agrobacterium*–mediated 6–transformation of lettuce. *Acta Physiologia Plantarum*, 10.1007/s11738-010-0699-z.
- Liu, Z.C., Park, B.J., Kanno, A., Kameya, T., 2005. The novel use of a combination of sonication and vacuum infiltration in *Agrobacterium*–mediated transformation of kidney bean (*Phaseolus vulgaris* L.) with lea gene. *Molecular Breeding*, 16: 189–197.
- Mannan, A., Syed, T.N., Mirza, B., 2009. Factors affecting *Agrobacterium tumefaciens* mediated transformation of *Artemisia absinthium*. L. *Pakistan Journal of Botany*, 41: 3239–3246.
- Murashige, T., Skoog, F., 1962. A revised medium for rapid growth and bioassays with tobacco tissue culture. *Physiologia Plantarum*, 15:473–497.
- Schopmeyer, C.S., 1974. Seeds of woody plants in the United States. U.S. Department of Agriculture, Agriculture Handbook, 450. Washington, DC. 883 p.

Callus induction and *Agrobacterium tumefaciens*- mediated genetic transformation in redbud (*Cercis griffithii* Boiss.)

N. Shabanian¹, M. Nasri², and M.-S. Rahmani^{3*}

1- Assoc. Prof., Faculty of Natural Resources, University of Kurdistan, I.R.Iran.

2- M.Sc. Graduate, Forest Ecology and Silviculture, Faculty of Natural Resources, University of Kurdistan, I.R.Iran.

3* - Corresponding author: M.Sc. in Plant Biotechnology, Forest Biology Laboratory, Faculty of Natural Resources, University of Kurdistan, I.R.Iran. E-mail: m.rahamani@uok.ac.ir

Received: 02.03.2014

Accepted: 05.17.2014

Abstract

Redbud (*Cercis* spp.), has a great importance in urban forestry and landscape architect, due to its ornamental values. But its use is hampered by some unfavorable traits that can be improved by genetic engineering. *In vitro* grown of cotyledons and stem explants of redbud were cultured on MS basal medium supplemented with different concentrations of growth regulators for callus induction. EHA105 and AGL1 strains of *Agrobacterium tumefaciens* were transformed with pCAMBIA2301 binary vector, harboring *nptII* and *gus* genes conferring kanamycin (Kan) resistance and reporter enzymatic protein of β -glucuronidase activity, respectively, using calcium chloride (CaCl₂) and Tris. Calli and zygotic embryo cells were infected with different densities of *Agrobacterium* strains under vacuum and normal conditions. Addition of 22.4 and 9.1 μ M of 2,4-Dicholophenoxy acetic acid (2,4-D) to medium resulted in the highest 92 and 97% callus induction in cotyledon and stem explants, respectively. Optimum concentration of Kan for selecting of transformed shoot and callus was also detected. The results showed that the highest transformation level can be obtained by OD₆₀₀ = 0.8 of AGL1 strain in vacuum condition. Histochemical analysis of reporter gene, and polymerase chain reaction (PCR) analysis confirmed transferring of the transgene from agrobacterium to embryo-derived plantlets and callus induced from regenerated shoots. The *Agrobacterium tumefaciens*-transformation procedure described here for the first time may pave an efficient way for generating transgenic *C. griffithii* trees using zygotic embryos as explants.

Keywords: *In vitro* culture, *agrobacterium tumefaciens*, *gus* expression, kanamycin.